



LB 9305

Aspecto general de los relieves de la Sierra de Gata formados por sedimentos del C.E.G. (19). La panorámica corresponde a la Cumbre del Pizarrón, al NE de la Hoja, ocupado por conglomerados. (cg).



LB 9306

Detalle de grauvacas laminadas del C.E.G. (19). El martillo marca los planos de esquistosidad S_1 .



LB 9307

Otro aspecto de grauvacas del
C.E.G. (19) donde se aprecia
con claridad la estratificación.



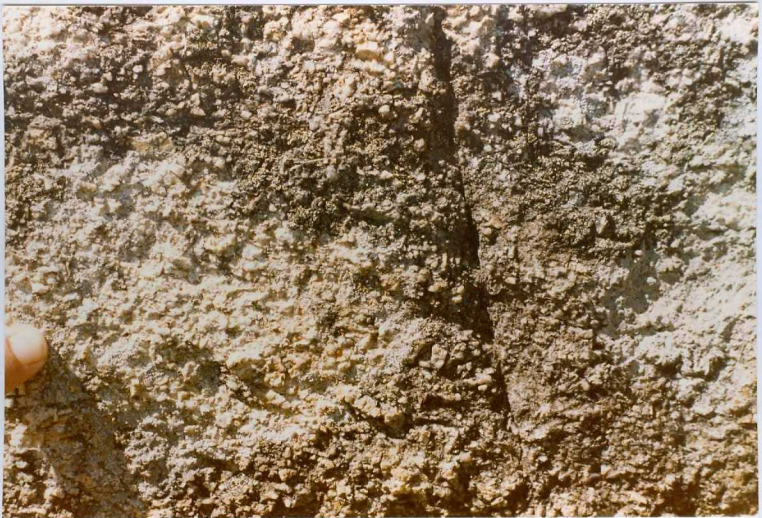
LB 9308

Detalle de un nivel de
grauvacas laminadas del C.E.G.
(19)



LB 9309

Aspecto de la orientación planar de filosilicatos en los granitos deformados (17) de la Unidad de Santibañez.



LB 9310

Detalle de la orientación de los feldespatos en los granitos deformados (17) de la unidad de Santibañez.



LB 9311

Detalle de los granitos de la Unidad de Santibañez en facies de grano fino (16) donde también se observa cierta orientacion.



LB 9312

Otro aspecto de los granitos deformados (17) de la Unidad de Santibañez. Las orientaciones planares buzcan 25° al E.



LB 9313

Detalle de granito biotítico porfídico (14) de la Unidad de Gata.



LB 9314

Aspecto de la zona de contacto entre la Unidad plutónica de Gata y el C.E.G. (19) en las proximidades de la localidad de Gata.



LB 9315

Otro aspecto de los granitos porfídicos (14) de la Unidad de Gata. En primer término depósitos del C.E.G. (19).



LB 9316

Detalle de los granitos de dos micas de grano fino y porfídicos (16) de la Unidad de Gata



LB 9317

Aspecto morfológico de los granitos de la fotografía anterior.



LB 9318

Vista parcial de los granitos de dos micas de grano grueso y porfídicos (7) de la Unidad de Jalama, al N de Acebo.



LB 9319

Detalle de la fotografía anterior, donde se aprecia una cierta orientación de los feldespatos.



LB 9320

Aspecto de los granitos de dos micas de grano grueso y porfídicos (7) de la Unidad de Jalama, en las proximidades de Villamiel.



LB 9321

Vista del castillo de Trevejo sobre granitos moscovíticos de grano medio (11) de la Unidad de Jalama.



LB 9322

Detalle de los granitos
moscovíticos (11) de la
fotografía anterior.



LB 9323

Aspecto morfológico de los granitos de dos micas de grano grueso y porfidicos (7) de la Unidad de Jalama, al E. de Villamiel.



LB 9324

Detalle del apuntamiento de granito moscovítico (11) situado al E. de Acebo (Unidad de Jalama).



LB 9325

Detalle de aplitas en facies de borde (5) de la Unidad de Jalama.



LB 9326

Detalle de los granitos de dos micas de grano grueso y porfídicos (7) de la Unidad de Jalama, donde se pueden observar orientaciones planares con fuerte buzamiento.



LB 9327

Aspecto de un pequeño "apuntamiento" de granito biotítico de la Unidad de Gata, al SE de Torre de Don Miguel.



LB 9328

Aspecto de los derrubios de ladera (21) sobre sedimentos del C.E.G.



LB 9329

Detalle de los derrubios de la
fotografía anterior.



LB 9330

Detalle del tipo de depósito que presentan los cursos aluviales.